

N 7, p. 181—240. 34. Smith J. P. The larval coil of Baculites. — Amer. Naturalist, 1901, vol. 35, N 409, p. 39—49. 35. Spinosa C., Furnish W. M., Glenister B. F. The Xenodiscidae, Permian ceratitoid ammonoids. — J. Paleontol., 1975, vol. 49, N 2, p. 239—283. 36. Suess E. Über Ammoniten. Sitzungsber. kön. — Akad. Wiss. Math.-Naturwiss. Kl., 1865, Bd 52, Abt. 1, S. 71—89. 37. Traité de paléontologie. T. 2. Masson et Cie, Editeurs 120, Boulevard Saint-Germain, 1952, 790 p. 38. Treatise on invertebrate paleontology. Pt. L. Mollusca 4. Cephalopoda. Ammonoidea. — Geol. Soc. America. Univ. Kansas Press, 1957, 490 p. 39. Wiedmann J. Ammoniten aus der Vascogotischen Kreide (Nordspanien). I. Phylloceratina, Lytoceratina. — Palaeontographica, 1962, Bd 118, S. 119—237. 40. Zittel K. Handbuch der Palaeontologie. München u. Leipzig, 1884, Abt. 1, Bd 2, 893 S.

Московский
государственный университет

Поступила в редакцию
02.02.83

БЮЛ. МОСК. О-ВА ИСПЫТАТЕЛЕЙ ПРИРОДЫ. ОТД. ГЕОЛ., 1984, Т. 59, ВЫП. 3

УДК 569.911.7

БИОМЕТРИЧЕСКИЕ РЕКОНСТРУКЦИИ СТЕБЛЕЙ ИСКОПАЕМЫХ МОРСКИХ ЛИЛИЙ

B. Г. Кликушин

Скелет морских лилий состоял из большого числа разных по форме и размерам табличек. После смерти животного он, как правило, распадался, и поэтому при исследовании ископаемых криноидей в большинстве случаев приходится иметь дело с разрозненными скелетными элементами. На значительные трудности наталкиваются попытки реконструкции скелетов морских лилий, основывающиеся на изучении отдельных табличек. Однако некоторые выводы о строении стеблей можно сделать, используя данные статистической обработки ископаемого материала.

Членики стеблей (или колумнали) в различных таксономических группах имели разную конструкцию и размеры. Поэтому измеряемые величины в каждом случае разные. У всех колумналей может быть измерена высота (h — рис. 1, а, б, в), для круглых члеников нетрудно замерить диаметр (D — рис. 1, а). Если сечение стебля эллиптическое, как у Bourgueticrinida или Thiollierinidae, замеряются длины большого и малого диаметров (D и d — рис. 1, б). Если сечение стебля пятиугольное, как

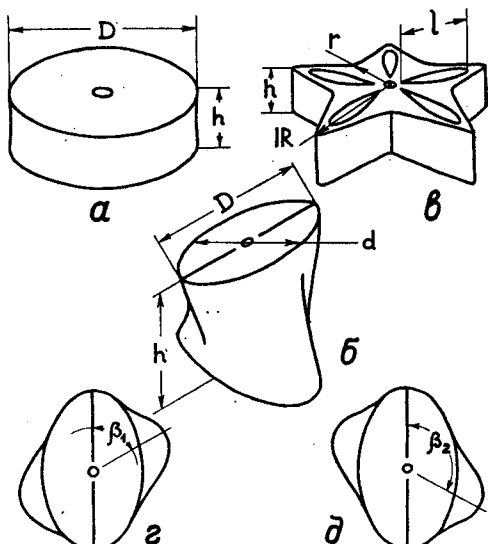


Рис. 1. Основные измерения члеников стеблей морских лилий: а — цилиндрический членик; б — эллиптический членик; в — звездчатый членик; г, д — поворот фулькрайльных валиков на двух сторонах эллиптического членика (h — высота, d — малый диаметр, D — диаметр, l — длина петали, r — длина радиуса сочленовой поверхности, IR — длина интеррадиуса сочленовой поверхности, β_1 — угол поворота фулькрайльных валиков в правом членике, β_2 — угол поворота фулькрайльных валиков в левом членике)

у большинства изокринид, замеряются длины радиуса и интеррадиуса сочлененной поверхности, а также длина петали (r , IR и l — рис. 1, в). У бургутекринид и сходных по строению стебля криноидей замеряется, кроме того, угол поворота фулькрайльных валиков на двух сторонах каждого членика (β_1 и β_2 — рис. 1, г, д).

Одной из простейших зависимостей, которую можно получить для стеблей любой конструкции, является функция типа $h=f(D)$. Для ее нахождения используется следующая методика. По представительности коллекции (выборки) и разбросу крайних значений диаметра выбирается число групп, на которые подразделяется изучаемый материал (обычно 5—10). Для каждой группы подсчитывается среднее значение D и h и по сумме точек строится кривая $h=f(D)$. На приведенных графиках (рис. 2) значения h и D приведены не в абсо-

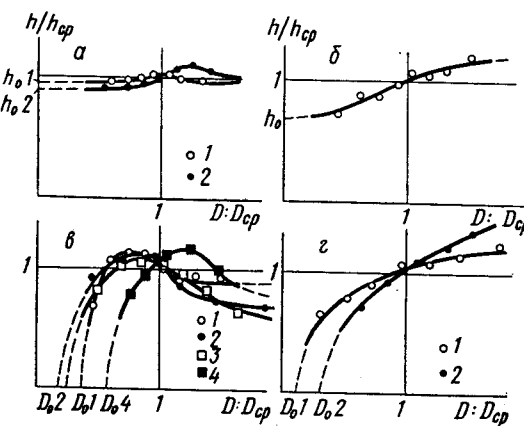


Рис. 2. Кривые $h=f(D)$ для стеблей различных морских лилий: а — кривые первого типа, первого вида (1 — *Austrocrinus erckerti*, 2 — *Percevalicrinus inderensis*); б — кривая первого типа, второго вида (*Cainocrinus gorbachae*); в — кривые второго типа, первого вида (1 — *Bourgueticrinus aequalis*, 2 — *B. fischeri*, 3 — *Tavrocrinus tavricus*, 4 — *Ptilocrinus pinnatus*); г — кривые второго типа, второго вида (1 — *Acrochordocrinus insignis*, 2 — *Bourgueticrinus danicus*) (h — высота члеников, h_{cp} — средняя высота члеников, h_0 — начальная высота члеников, D — диаметр члеников, D_{cp} — средний диаметр члеников, D_0 — начальный диаметр члеников)

лютном исчислении (в мм), а относительно к среднему по выборке значению измеряемых параметров. Последнее делается для того, чтобы кривые, получаемые для разных видов криноидей, можно было бы сопоставить в пределах одного координатного поля. Форма кривых при этом не меняется.

По приведенной выше методике построены кривые $h=f(D)$ для четырнадцати видов морских лилий. Все кривые могут быть разделены на два типа. Для гомогенных по строению стеблей криноидей, т. е. в тех случаях, когда отсутствуют резкие морфологические различия проксимальных и дистальных члеников (для Isocrinida, например), получены кривые первого типа. При экстраполяции в сторону уменьшения диаметра эти кривые пересекаются с осью h в точках h_0 (рис. 2, а, б). Полученный гипотетический параметр — начальная высота (h_0) — показывает, что в личиночных стеблях изокринид впервые появлявшиеся членики имели трубчатую форму с весьма незначительным диаметром, но вполне определенной высотой. При увеличении размеров стебля колумнали очень быстро увеличивали свой диаметр, но их высота менялась в небольшой степени. Этот вывод подтверждается и имеющимся ископаемым материалом.

Наиболее высокие значения относительной начальной высоты отмечаются у *Percevalicrinus inderensis* подсемейства *Balanocrininae* (табл. 1). У изученных представителей подсемейства *Isseilocrininae* относительные значения h_0 заметно ниже (*Austrocrinus erckerti* и

Таблица 1

Начальные, средние и предельные размеры членников двух типов и четырех видов стеблей морских лилий
(обозначения параметров см. в тексте)

| Тип стебля | Вид кривой | Название вида | Индекс возраста | Местонахождение | Число замеров | $h_{ср}$, мм | $\frac{h_0}{h_{ср}}$ | h_0 , мм | $\frac{h_\infty}{h_{ср}}$ | h_∞ , мм | $D_{ср}$, мм | $\frac{D_0}{D_{ср}}$ | D_0 , мм |
|--|------------|--|-------------------|-----------------|---------------|---------------|----------------------|------------|---------------------------|-----------------|---------------|----------------------|------------|
| Гомогенный | 1 | <i>Percevalicrinus iderensis</i> Klikushin | J ₃ V | Прикаспий | 301 | 1,01 | 0,97 | 0,98 | 0,99 | 1,00 | 5,28 | — | — |
| | | <i>Austinocrinus erckerti</i> (Dames) | K ₂ m | Туркмения | 578 | 2,35 | 0,89 | 2,09 | 0,89 | 2,09 | 14,99 | — | — |
| | | <i>Austinocrinus rothpletai</i> Stolley | K ₂ cp | Крым | 395 | 2,39 | 0,73 | 1,74 | 0,92 | 2,20 | 3,78 | — | — |
| | 2 | <i>Cainocrinus gorbachae</i> Klikushin | P ₁ t | Крым | 515 | 1,59 | 0,69 | 1,09 | 1,27 | 2,01 | 3,52 | — | — |
| | | <i>Bourgueticrinus bellus</i> Klikushin | K ₂ cp | Мангышлак | 386 | 4,58 | — | — | 0,87 | 3,98 | 3,27 | 0,11 | 0,37 |
| | | <i>Bourgueticrinus fischeri</i> (Geinitz) | K ₂ cp | Туркмения | 121 | 3,80 | — | — | 0,65 | 2,47 | 3,78 | 0,08 | 0,30 |
| Гетерогенный | 1 | <i>Bourgueticrinus aequalis</i> Orbigny | K ₂ m | Крым (ЮЗ) | 75 | 4,33 | — | — | 0,91 | 3,94 | 5,39 | 0,15 | 0,83 |
| | | <i>Bourgueticrinus aequalis</i> Orbigny | K ₂ m | Крым (В) | 196 | 4,11 | — | — | 0,91 | 3,74 | 7,24 | 0,22 | 1,58 |
| | | <i>Tavrocrinus tavricus</i> Klikushin | K ₁ al | Крым | 300 | 1,76 | — | — | 0,57 | 1,00 | 2,73 | 0,29 | 0,78 |
| | | <i>Ptilocrinus pinnatus</i> Clark | A | | 257 | 1,40 | — | — | 0,73 | 1,02 | 2,61 | 0,48 | 1,25 |
| | | <i>Bourgueticrinus danicus</i> Nielsen | P ₁ d | Крым (ЮЗ) | 121 | 3,87 | — | — | 1,51 | 5,84 | 4,85 | 0,13 | 0,61 |
| | | <i>Bourgueticrinus danicus</i> Nielsen | P ₁ d | Крым (ЮЗ) | 461 | 3,67 | — | — | 1,51 | 5,54 | 4,17 | 0,09 | 0,39 |
| Максимально зрелые стебли длинами вниз, см. | 2 | <i>Acrochordocrinus insignis</i> Trautschold | J ₃ cl | Подмосковье | 273 | 6,73 | — | — | 1,24 | 8,35 | 12,86 | 0,16 | 2,06 |
| | | <i>Paracrinus diomadae</i> Agassiz | A | | 567 | 0,90 | — | — | 1,43 | 1,29 | 4,36 | 0,56 | 2,44 |

A. rothpletzi) и минимальны в подсемействе *Metacrininae* (*Cainocrinus gorbachae*).

Кривые гомогенных стеблей могут быть разделены на два вида: первый — с максимумом в средней части (см. рис. 2, а) и второй — без максимума (см. рис. 2, б). При экстраполяции всех кривых в сторону увеличения диаметра получим еще один гипотетический параметр — предельную высоту членников (h_∞), уровень асимптоты, к которой приближаются кривые. Наличие предельной высоты показывает, что при увеличении размеров экземпляра морской лилии наступает момент, когда средняя высота членников стабилизируется, т. е. не уменьшается (для кривых первого вида) или не возрастает (для второго вида). Если кривые $h=f(D)$ относятся ко второму виду, h_∞ значительно больше, чем h_{cp} и h_0 (см. табл. 1). Это говорит о том, что при увеличении стебля членники могли относительно свободно расти не только в ширину, но и в высоту. Однако в кривых первого вида предельная высота членников меньше средней высоты и лишь в небольшой степени превышает их начальную высоту или даже равна ей. Отмеченное обстоятельство говорит об ограниченной возможности роста членников в высоту при увеличении размеров стебля.

Кривые второго типа при экстраполяции в сторону уменьшения диаметра пересекаются с осью D в точках D_0 (см. рис. 2, в, г). Они были получены для *Bougueticrinida* и *Nuocrinida* с гетерогенным строением стеблей. Существование начального диаметра (D_0) показывает, что в личиночных стеблях изученных форм колумнали представляли собой тончайшие пластиинки, ориентированные перпендикулярно осевому каналу, т. е. имели ничтожно малую высоту, но вполне определенный диаметр. При увеличении размеров экземпляра морской лилии членники очень быстро росли в высоту, но их диаметр возрастал в меньшей степени (см. табл. 1). В зависимости от условий обитания бургетикринид начальный диаметр, т. е. момент начала интенсивного наращивания кальцитового скелета, мог меняться (см., например, *B. aequalis* и *B. danicus* в табл. 1). Относительный начальный диаметр искоцаемых хиокринин больше, чем у бургетикринид (см. *A. insignis* и *T. tavricus*), и он максимальен у ныне живущих представителей подотряда (*P. pinnatus* и *C. diomedae*)¹.

Кривые второго типа, так же как и первого, делятся по форме на два вида — с максимумом в средней части (см. рис. 2, в) и без него (см. рис. 2, г). При экстраполяции кривых в сторону увеличения диаметра получим, как и прежде, предельную высоту членников (h_∞). У криноидей, стебли которых дают кривые первого вида, предельная высота меньше средней, но при кривых второго вида — больше (см. табл. 1).

Приведенные цифры показывают, что все изученные морские лилии делятся на две большие группы. В личиночных стебельках криноидей первой группы колумнали имели трубчатую форму и в процессе члогонегетического развития быстро наращивали свой диаметр. При этом их высота оставалась почти постоянной не только в крупных и колючих стеблях, но и в проксимальной и дистальной частях одного наялата (отклонения от средней высоты не превышали десятых долей см.). Поскольку и диаметр и высота членников вдоль одного стеб-

Но не менялись, стебель был назван гомогенным. По имеющимся данным, к первой группе относятся только представители отряда (табл. 1).

Относительные высоты членников стеблей ныне живущих *Nuocrinida* сделаны по изображенным в работах [5] (*C. diomedae*) и [6] (*P. pinnatus*).

Isocrinida, т. е. морские лилии, прикреплявшиеся к субстрату свободно подвижными боковыми циррусами, собранными в мутовки.

В стебельках юных экземпляров второй группы членики имели дисковидную форму и в процессе развития индивида быстро росли как в высоту, так и по диаметру. В крупных экземплярах высота члеников во много раз превышала начальную высоту и, более того, высота и диаметр члеников из разных частей одного стебля были резко различны. Поэтому второй тип стеблей назван гетерогенным. Все изученные представители второй группы (*Bourgueticrinida* и *Nuostripina*) неподвижно прикреплялись к субстрату утолщенным дистальным диском или радикулярными циррусами. Можно предположить, что *Millegericrinida*, стебли которых здесь не анализировались, также относятся ко второй группе, так как они прикреплялись к грунту массивными корневыми образованиями.

Форма личиночных колумналей и тип построения стебля (гомогенный или гетерогенный) имеют, вероятно, чрезвычайно большое значение в систематике подкласса *Articulata*. Если первый из названных аспектов будет подтвержден биологическими исследованиями, таксономия артикулят может быть существенно преобразована.

По внешним морфологическим признакам в большинстве случаев нельзя установить точное положение членика в стебле. Тогда для определения конструкции стебля можно использовать метод аналогий. Так, например, кривая $h=f(D)$ для позднеюрского *Acrochordocrinus* (см. рис. 2, г) сходна с таковой, построенной для таксономически близкого современного *Calamocrinus*. А для последнего известно [5], что диаметр стебля равномерно возрастает дистально. Имея в виду этот факт, а также параметры кривой $h=f(D)$, получим модель стебля *Acrochordocrinus*, где диаметр возрастает дистально, а высота члеников сначала быстро увеличивается, а затем почти не меняется. Аналогия кривых $h=f(D)$ для *Acrochordocrinus* и *Calamocrinus* и таксономическая близость этих родов позволяют предположить, что конусность стебля *Acrochordocrinus* была близка к *Calamocrinus*. Конусность стебля, равная изменению его диаметра на единицу длины, вычисляется по формуле: $K = \frac{D_d - D_p}{L}$, где D_d — диаметр стебля дистально, D_p — диаметр проксимально и L — длина стебля. Конусность стебля *Acrochordocrinus*, принятая аналогичной *Calamocrinus*, равна 0,010. Дистальный диаметр принят равным диаметру самого крупного имеющегося в коллекции членика стебля (31 мм), а проксимальный диаметр — равным среднему диаметру наиболее проксимальных члеников (10,5 мм). По этим данным длина стебля *Acrochordocrinus* получится равной приблизительно двум метрам. При средней высоте члеников 6,73 мм получим число члеников в двухметровом стебле равным примерно 300.

Для раннемелового *Tavgoricrinus* кривая $h=f(D)$ получилась сходной с кривой для таксономически близкого современного рода *Ptilocrinus* (см. рис. 2, в). По аналогии с *Ptilocrinus*, конусность стебля, или которого равна 0,006 [6], получим основные параметры стебля *Tavgoricrinus* (табл. 2).

Изложенный метод нахождения модели и длины стебля по аналогии со сходными формами необходимо использовать крайне осторожно, вниз, Гораздо более надежным, но вместе с тем и более сложным является определение параметров стебля, если морфология его члеников — см. яет выразить в цифровой форме положение колумналей относительно чашечки. Следует при этом иметь в виду, что определить точную дли-

Таблица 2

Основные параметры стеблей пяти видов морских лилий, полученные по биометрическим данным (обозначения параметров см. в тексте)

| Название видов | Конусность стебля | D_p , мм | D_d , мм | h_p , мм | h_d , мм | h_{cp} , мм | Максимальная длина стебля, см | Число члеников | Модель стебля (рисунок) |
|----------------------------------|-------------------|------------|------------|------------|------------|---------------|-------------------------------|----------------|-------------------------|
| <i>Acrochordocrinus insignis</i> | 0,0100 | 10,5 | 31,0 | ? | ? | 6,73 | 200 | 300 | — |
| <i>Tavrocrinus tavricus</i> | 0,0060 | 3,9 | 5,7 | ? | ? | 1,76 | 50 | 300 | — |
| <i>Bourgueticrinus aequalis</i> | 0,0104 | 4,5 | 10,4 | 4,25 | 3,56 | 4,11 | 60 | 140 | 3, в |
| <i>Percevalicrinus indrensis</i> | 0,0060 | 4,4 | 3,6 | 0,99 | 1,02 | 1,01 | 130 | 1300 | 4, а |
| <i>Austinocrinus erckerti</i> | 0,0026— 0,0067 | 11,0 | 12,4 | 1,96 | 2,03 | 2,35 | 430 | 1800 | 4, б |

рядковый номер» членика (первый, второй или десятый от чашечки) нельзя, можно лишь найти принадлежность его к той или иной части стебля (проксимальной, средней, дистальной).

Для большинства бургетикринид показателем положения членика в стебле является эксцентризитет его артикулума ($\varepsilon = \frac{D-d}{D}$).

Членики из проксимальной части стебля чаще всего круглые ($\varepsilon=0$), а из дистальной — эллиптические. Одновременно с изменением эксцентризитета артикулумов вдоль стебля происходит изменение высоты и диаметра члеников. Для нахождения зависимостей типа $h=f(\varepsilon)$ и $D=f(\varepsilon)$ используется та же методика, что и при нахождении функции $h=f(D)$. Модели стеблей строятся следующим образом. Проводится произвольной длины вертикальная ось $d-p$ (дисталь — проксималь). Она делится на отрезки, пропорциональные числу члеников в группах, на которые делилась выборка при нахождении функций $h=f(\varepsilon)$ и $D=f(\varepsilon)$. Порядок следования отрезков сверху вниз соответствует возрастающим значениям эксцентризитета, т. е. от проксимальной к дистальной части стебля. В середине каждого отрезка проводится горизонтальная линия и на ней откладываются значения диаметра (в обе стороны от вертикальной оси по $r=0,5D$). Полученная фигура делится горизонтальными отрезками на части, высота которых пропорциональна средней высоте члеников в избранных группах, а число частей равно числу групп. Построенная таким образом модель дает представление об общем виде искомого стебля, о характере изменения высоты члеников в нем, хотя ее пропорции и искажены. Изложенную методику построения модели стебля нельзя использовать при привлечении аналогий (см. выше), так как там неизвестно, в каком порядке и должны располагаться отрезки для нанесения значений диаметра и высоты члеников.

Форма моделей стеблей заметно различается у разных видов рода *Bourgueticrinus*. У *B. fischeri*, например (рис. 3, а), стебель расширяется под чашечкой и имеет цилиндрическую форму в дистальной части, а высота члеников быстро уменьшается вниз вдоль стебля. У *B. bellus*

(рис. 3, б) стебель резко расширяется в прикорневой части, а высота члеников максимальна в середине стебля. У *B. aequalis* (см. (табл. 3, в) стебель равномерно расширяется вниз, а высота члеников относительна под чашечкой. И наконец, у *B. danicus* (см. рис. 3, г)

почти цилиндрический, слегка сужающийся под чашечкой и

в прикорневой части и состоящий из одинаковых по высоте членников.

Для определения длины стебля и числа содержащихся в нем членников выведенных моделей недостаточно. Нужно знать еще и конусность стебля. Имеющийся в распоряжении автора фрагмент стебля *B. aequalis* длиной 58 мм имеет конусность 0,0104. Определенные на этом основании параметры стебля приведены в табл. 2.

У изокринид, имеющих пятилучевое сечение стебля, показателем положения членика является звездчатость: $Z = \frac{IR - r}{IR}$ [3]. Под чашечкой звездчатость максимальна, а дистально стебель часто становится круглым ($Z=0$). С этой точки зрения была проанализирована коллекция стеблевых остатков *Percevalicrinus inderensis* и составлена

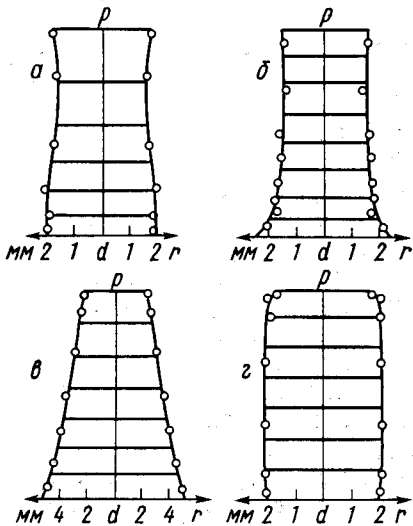


Рис. 3. Модели стеблей для видов рода *Bourgueticrinus*: а — *B. fischeri*; б — *B. bellus*; в — *B. aequalis*; г — *B. danicus* (*d* — дисталь, *p* — проксималь, *r* — длина радиуса членников)

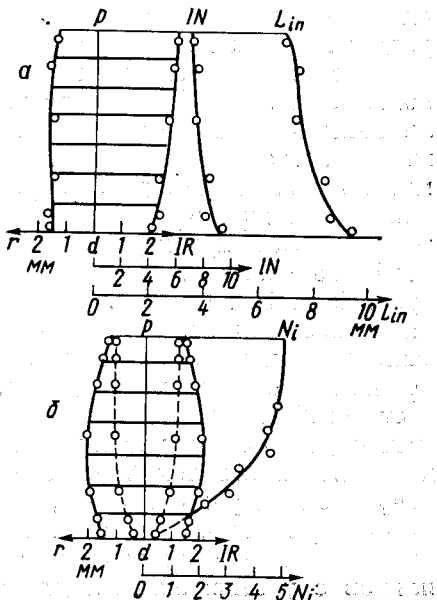


Рис. 4. Модели стеблей для видов отряда изокринид: а — *Percevalicrinus inderensis*; б — *Austinocrinus erckerti* (*d* — дисталь, *p* — проксиималь, *r* — длина радиуса членников, *IR* — длина интеррадиуса членников, *IN* — число интернодалей, *Lin* — длина интегронального промежутка, *Nin* — среднее число циркусных цоколей на нодали или нодальный индекс)

модель стебля для этого вида по приведенной выше методике. Поскольку длина интеррадиуса (*IR*) и радиуса (*r*) сочленовой поверхности меняется различным образом, то на приведенной модели (рис. 4, а) значения интеррадиуса и радиуса показаны отдельно (справа и слева от оси *d*—*p*). Модель стебля *P. inderensis* отличается от моделей стеблей бургетикринид (см. рис. 3) тем, что сужается дистально. Вместе с уменьшением звездчатости, т. е. от чашечки вниз, увеличивается число членников, заключенных между двумя соседними нодальными, от семи проксимально до девяти дистально (*IN* — см. рис. 4, а). Одновременно, хотя и в незначительной степени, возрастает высота отдельных членников (от 0,99 до 1,02 мм), так что в сумме дли-

на интернодальных промежутков (L_{in} — см. рис. 4, а) увеличивается от 7 мм проксимально до 9,5 мм дистально. Отмеченные закономерности показывают, что в стебле *Pergsevalicrinus*, как, по-видимому, и в стеблях многих других изокринид, новые членики образуются не только под базальным кольцом, но и в интернодальных участках, за счет чего дистальные интерноды длиннее проксимальных. Конусность стебля *Pergsevalicrinus* равна 0,0060 [4]. Полученные на этом основании параметры стебля приведены в табл. 2.

В круглых стеблях других представителей изокринид, относящихся к роду *Austinocrinus*, показателем положения членика в стебле служит относительная длина петали артикулума ($l_0 = \frac{l}{IR}$). В непосредственной близости от чашечки длина петали почти равна длине интеррадиуса сочленовной поверхности, поэтому l_0 близка к единице. Дистально петалоидная розетка уменьшается в диаметре, а вокруг нее появляется лимб (радиально зазубренное поле), ширина которого увеличивается вниз вдоль стебля [2]. Обработанная на этом основании выборка члеников стеблей *Austinocrinus erckerti* позволила построить модель стебля (см. рис. 4, б), на которой пунктиром отмечено изменение диаметра петалоидной розетки (полоса между пунктирной линией и внешним контуром модели — лимб). Модель стебля *A. erckerti* необычна своей веретенообразной формой, однако сужение стебля от средней части вверх и вниз доказывается и замерами, произведенными на имеющихся фрагментах стеблей этого вида, найденных в нижнемастихтических отложениях Северного Кавказа (табл. 3). Обобщая приведенные в таблице цифры, можно отметить, что проксимальная часть стеблей небольшого диаметра сужается вверх в незначительной степени, но дистальная их часть сужается вниз гораздо быстрее. В то же время в стеблях большого диаметра на проксимальном участке конусность выражена резче, чем на дистальном. Очевидно, на юных стадиях развития индивида стебель интенсивно рос в длину, при этом дистальный участок заметно отставал в развитии. У крупных экземпляров с установленвшейся длиной стебля, напротив, шло преимущественное утолщение дистальной части, где располагались мощные циррусы, в проксимальной части стебля отсутствующие.

Таблица 3

Конусность проксимальных и дистальных фрагментов стеблей *Austinocrinus erckerti*
(обозначения параметров см. в тексте)

| Номера экземпляра | Местонахождение (Северный Кавказ) | Участок стебля | Размеры (в мм) | | | Конусность |
|-------------------|-----------------------------------|----------------|----------------|-------|-------|------------|
| | | | L | D_p | D_d | |
| КБ-11-1 | р. Баксан | проксимальный | 390 | 14,7 | 15,7 | 0,0026 |
| КБ-17-1 | р. Баксан | проксимальный | 630 | 16,7 | 20,6 | 0,0062 |
| КБ-1-1 | р. Кубань | дистальный | 130 | 19,0 | 18,5 | 0,0038 |
| КБ-1-2 | р. Кубань | дистальный | 150 | 15,5 | 14,5 | 0,0067 |

Вычисленные на основании данных о конусности параметры стебля *A. erckerti* представлены в табл. 2. Вдоль стебля, одновременно с изменением высоты и диаметра члеников, отмечается изменение числа циррусов на нодали (N_i — см. рис. 4, б). Под чашечкой на вновь появляющихся нодалях всегда пять циррусов, но дистально часть из них

атрофируется, так что к середине стебля среднее число циркусных цоколей сокращается до четырех, в нижней части — до двух и в пределе, возможно, до нуля.

Конструкция колумналей Bourgueticrinus (см. рис. 1, б) позволяет определить условную геометрическую гибкость стебля. Подвижность сильно вытянутых, эллиптических сочленений больше, чем круглых, значит, гибкость возрастает при увеличении эксцентрикитета артикулумов (ε). Фулькральные валики на двух сочленовых поверхностях одного членика образуют между собой определенный угол (β_1 или β_2). Если угол $\beta_1 < 90^\circ$, членик считается правым (см. рис. 1, г), и, если $\beta_2 > 90^\circ$, — левым (см. рис. 1, д). Правые и левые членики в стебле бургетикринид чередуются. Если фулькральные валики во всем стебле перпендикулярны друг другу, направление преобладающей гибкости (анизотропия $A = \sin \frac{\beta_2 - \beta_1}{2}$) отсутствует,

но если они параллельны, анизотропия максимальна и равна единице. Одновременно с увеличением анизотропии возрастает и направленная гибкость стебля [1]. Вместе с тем при возрастании относительной высоты члеников ($H = \frac{h}{D}$) гибкость стебля уменьшается. Поэтому формулу гибкости стебля можно записать так: $F = \frac{\varepsilon \cdot A}{H}$ или $F = \frac{\varepsilon \cdot \sin \alpha}{H}$, где $\alpha = \frac{\beta_2 - \beta_1}{2}$.

Для нахождения значений F выборки по четырем видам Bourgueticrinus делились на три группы по эксцентрикитету (проксимальную, среднюю и дистальную) и для каждой группы подсчитывались средние значения ε , H и a . Поскольку от чашечки дистально возрастает эксцентрикитет артикулумов и уменьшается высота члеников, гибкость в нижней части стебля значительно выше, чем в проксимальной (табл. 4). У большинства изученных видов гибкость стебля дистально в десятки раз выше, чем под чашечкой, хотя достигается это различным сочетанием параметров. Так, например, у *B. bellus* относительная высота члеников в проксимальной и средней частях стебля одинакова, а у других видов она равномерно уменьшается дистально. Анизотропия стебля у *B. aequalis* и *B. fischeri* возрастает вниз вдоль стебля, но у *B. bellus* и *B. danicus* максимальна в средней части стебля.

Таблица 4

Изменение гибкости стеблей различных видов рода *Bourgueticrinus* в проксимальной, средней и дистальной частях
(обозначения параметров см. в тексте)

| Участок стебля | <i>B. aequalis</i> | | | | <i>B. bellus</i> | | | | <i>B. danicus</i> | | | | <i>B. fischeri</i> | | | |
|----------------|--------------------|------|----------------|-------|------------------|------|----------------|-------|-------------------|------|----------------|-------|--------------------|------|----------------|-----|
| | ε | H | α° | F | ε | H | α° | F | ε | H | α° | F | ε | H | α° | F |
| Проксимальный | 0,077 | 0,88 | 14,5 | 0,022 | 1,57 | 12,4 | 0,003 | 0,293 | 0,96 | 18,5 | 0,097 | 0,016 | 1,42 | 10,2 | 0,002 | |
| Средний | 0,176 | 0,63 | 15,9 | 0,077 | 0,075 | 13,7 | 0,011 | 0,295 | 0,88 | 19,5 | 0,112 | 0,073 | 0,98 | 13,4 | 0,017 | |
| Дистальный | 0,310 | 0,37 | 17,8 | 0,255 | 0,160 | 0,85 | 0,043 | 0,314 | 0,82 | 19,2 | 0,126 | 0,152 | 0,61 | 18,3 | 0,078 | |

Средняя общая гибкость стебля у четырех видов *Bourgueticrinus* и одного вида *Copocrinus* различна (табл. 5). Остатки *B. bellus* собраны в песчаном меле, а *B. fischeri* — в известковистых глинах. Сходная подвижность среды, в которой обитали эти виды, приводит к формированию стеблей одинаковой гибкости. Однако одинаковая гибкость достигается различной комбинацией параметров. Членики стеблей *B. aequalis* и *C. tauricus* встречены в песчанистых мергелях. Соответственно и гибкость в несколько раз больше, чем у предыдущих видов, но отдельные параметры, составляющие ее, резко различны. И наконец, членики стеблей *B. danicus* слагают криноидные известняки, образовавшиеся в условиях весьма подвижных вод, и гибкость стебля максимальна. Приведенные данные показывают, что виды, обитавшие в более динамичной обстановке, обладают более гибкими и более анизотропными стеблями. Но разные виды, относящиеся даже к разным родам, обитавшие в сходных условиях, имели одинаковую гибкость стебля.

Таблица 5

Зависимость гибкости стеблей *Bourgueticrinus* и *Copocrinus* от подвижности среды обитания (обозначения параметров см. в тексте)

| Название вида | <i>a</i> | <i>H</i> | α° | <i>F</i> | Вмещающая порода |
|------------------------------|----------|----------|----------------|----------|----------------------|
| <i>B. bellus</i> | 0,067 | 1,46 | 13,3 | 0,011 | песчаный мел |
| <i>B. fischeri</i> | 0,060 | 1,12 | 12,5 | 0,012 | известковистая глина |
| <i>C. tauricus</i> | 0,310 | 1,48 | 20,2 | 0,072 | песчанистый мергель |
| <i>B. aequalis</i> | 0,186 | 0,71 | 16,2 | 0,073 | песчанистый мергель |
| <i>B. danicus</i> | 0,300 | 0,89 | 18,5 | 0,107 | криноидный известняк |

Интересно, что одновременно с увеличением гибкости стебля изменяется и форма чашечек изученных форм. При малой гибкости стебля, как у *B. bellus*, чашечка невысокая, с крупными радиальными и маленькими базальными. Радиальные фасетки большие, а сечение радиального венца пятилопастное. У *B. fischeri* чашечка несколько выше, крупнее и базали, но форма радиального венчика почти такая же, как у *B. bellus*. У *B. aequalis* чашечка цилиндрическая, базали почти равны радиальным по высоте, а сечение радиального венчика лишь в незначительной степени пятилопастное. У *B. danicus* с максимальной гибкостью стебля чашечка веретенообразная и базальный венчик значительно выше радиального, имеющего круглое поперечное сечение. Большие размеры радиалей, крупные обособленные радиальные фасетки чашечек говорят, вероятно, о значительных размерах рук и их относительно большой подвижности в проксимальной части. Поэтому можно предположить, что с увеличением гибкости стебля, т. е. с возрастанием подвижности среды обитания, кроны бургутекринид уменьшались в размерах. Это и понятно: бургутекриниды были активными фильтраторами и амбулякральный аппарат кроны служил им для улавливания пищевых частиц. Но если придонные течения доставляли обильную пищу, необходимости в большой разветвленной кроне не было.

В заключение можно отметить, что далеко не все возможные аспекты биометрии стеблей морских лилий, по-видимому, рассмотрены в настоящей работе. Тем не менее на основании статистической обработки данных многочисленных замеров разрозненных колумналей удалось сделать предположения об особенностях ранних (начальная вы-

сота, начальный диаметр) и поздних (пределная высота) стадий онтогенетического развития стеблей, удалось составить модели стеблей и на этом основании определить их длину, число содержащихся в них членников и характер изменения нодалей и длины интернодов вдоль стебля. Определение геометрической гибкости стеблей бургетикринид выявило ее увеличение дистально в каждом из экземпляров морской лилии, а также выявило ее прямую зависимость от подвижности морской среды.

СПИСОК ЛИТЕРАТУРЫ

1. Кликушин В. Г. Механика стеблей *Bourgueticrinidae*. — Палеонтол. журн., 1975, № 1, с. 123—125.
2. Кликушин В. Г. Аустинокринусы Советского Союза. — Палеонтол. журн., 1975, № 3, с. 94—100.
3. Кликушин В. Г. Опыт составления онтогенетической матрицы для стеблей изокринид. — В кн.: Систематика, эволюция, биология и распространение современных и вымерших иглокожих. Л., 1977, с. 30—32.
4. Кликушин В. Г. Морские лилии рода *Percevalicrinus*. — Палеонтол. журн., 1981, № 4, с. 81—90.
5. Agassiz A. *Calamocrinus diomedae, a new stalked Crinoid*. — Mem. Mus. comp. zool. Harvard, 1892, vol. 17, N 2, p. 1—95.
6. Clark A. H. A new species of Crinoid (*Ptilocrinus pinnatus*) from the Pacific Coast, with a note on *Bathyocrinus*. — Proc. U. S. Natl. Mus., 1907, vol. 32, N 1547, p. 551—554.

Ленинградский
горный институт

Поступила в редакцию
05.10.82

БЮЛ. МОСК. О-ВА ИСПЫТАТЕЛЕЙ ПРИРОДЫ. ОТД. ГЕОЛ., 1984, Т. 59, ВЫП. 3

УДК 553.64 : 551.782 : 551.417(265)

О НЕОГЕНОВЫХ ФОСФОРИТОВЫХ РУДАХ ТИХООКЕАНСКОГО ПОДВИЖНОГО ПОЯСА

B. N. Силантьев, Г. А. Сорокина, В. И. Покрышкин

Особенности и степень изученности геологического строения восточных районов страны пока не позволяют достаточно уверенно выделить конкретные площади, перспективные для открытия крупных месторождений богатых фосфоритовых руд. В связи с этим появилась необходимость оценить перспективы выявления здесь месторождений с рудами, бедными, но легкообогатимыми, из которых простыми способами можно получать высококачественные фосфатные концентраты, удовлетворяющие требованиям промышленности [25]. С указанной позиции ниже рассмотрены фосфориты и фосфатные породы¹ морских неогеновых отложений Тихоокеанского подвижного пояса (ТПП), северо-западная часть которого расположена в пределах СССР.

ТПП представляет собой крупнейшую планетарную структуру, почти непрерывным кольцом оконтуривающую базальтовое ложе Тихого океана. Морские отложения неогена распространены в приокеанической зоне пояса, охватывающей Сахалин, Камчатку, Курильские, Командорские и Алеутские острова, Тихоокеанское побережье Американских континентов, прибрежные части Новой Зеландии и Австралии, острова Индонезии, Филиппин и Японии [9, 11—13]. Сведения по неогенным фосфатсодержащим породам в объеме, необходимом для сопоставлений и обобщений, имеются только для территории Сахалина, Камчатки, Северной и Южной Америки.

¹ Фосфатные породы содержат 1—18% P₂O₅, фосфориты — более 18% P₂O₅.